

# ТЕХНОЛОГИИ ОБРАБОТКИ МЕТАЛЛОВ

УДК 621.777: 621.777.22

Беляев С.В., Сидельников С.Б., Довженко И.Н., Пещанский А.С., Разумкин В.В.

## АНАЛИТИЧЕСКАЯ ОЦЕНКА ТЕМПЕРАТУРНЫХ УСЛОВИЙ ПРОЦЕССА ПОЛУНЕПРЕРЫВНОГО ПРЕССОВАНИЯ

Профили из низколегированных легкодеформируемых алюминиевых сплавов типа АД31 представляют собой высокоэффективный вид металлоизделий, который имеет развитый мировой рынок с постоянным приростом потребления и составляет 85–90% от всего объема прессованной продукции [1]. Основным способом производства данных профилей является прямое полуунепрерывное прессование на автоматизированном комплексе с мощным гидравлическим прессом, оснащенным тянувшим устройством профиля на выходе из канала матрицы, с закалкой на столе пресса и использованием форкамерных матриц [2].

Температуры нагрева прессового инструмента и заготовки для прессования, выходная температура профиля и ее изменение в процессе выдавливания оказывают решающее влияние на достижение максимально возможной скорости прессования и требуемого качества профилей. Поэтому расчет температурных условий для полуунепрерывного прессования является актуальной задачей, обеспечивающей рациональное построение технологии производства профилей из легкодеформируемых алюминиевых сплавов.

Определение температурных полей при прессовании связано с решением сопряженной краевой задачи нестационарной теплопроводности в системе деформируемый металл и прессовый инструмент, которая не имеет замкнутого решения [3]. При решении данной задачи возникают значительные трудности, что обусловило привлечение различных методов при проведении исследований и осуществлении расчетов температурных условий.

Расчет температурных условий процесса прессования можно выполнить численными методами, так как увеличение мерности и факторности задачи приводят лишь к увеличению объема вычислений и необходимости применения ЭВМ с соответствующим объемом памяти и быстродействием [4, 5]. В то же время по-прежнему актуально применение инженерных методов расчета, особенно тогда, когда получена аналитическая зависимость с достаточной степенью точности. Инженерные ме-

тоды расчета температурных условий, как правило, основаны на уравнении теплового баланса [4]. Весь объем заготовки делится на элементарные блоки, число которых зависит от характера рассматриваемой задачи. Для каждого блока составляют уравнение теплового баланса

$$\Delta Q_i = c_i \gamma_i V_i (T_{i1} - T_{i0}), \quad (1)$$

где  $\Delta Q_i$  – приобретенное или утраченное тепло  $i$ -м блоком за интервал времени  $\Delta t$ ;  $c_i, \gamma_i$  – теплоемкость и плотность прессуемого металла;  $V_i$  – объем блока;  $T_{i1}, T_{i0}$  – температура блока в начале и конце интервала времени  $\Delta t$ .

Во время полуунепрерывного прессования элементарные блоки прессуемого металла проходят следующие характерные зоны по интенсивности выделения и расположению источников тепла (рис. 1):

- зона прессуемого металла в контейнере на подходе к очагу деформации, где действуют поверхностные источники тепла от трения на поверхности контейнера и заготовки  $q_{TPK}$ ;
- очаг деформации в контейнере, где действуют поверхностные источники тепла от трения на поверхности очага деформации в контейнере  $q_{TPKД}$  и объемные источники тепла в очаге деформации в контейнере  $q_{VKД}$ ;
- зона прессуемого металла в форкамере на подходе к очагу деформации в ней, где действуют поверхностные источники тепла от трения на поверхности заготовки и форкамеры  $q_{TPKФ}$ ;

- очаг деформации в форкамере, где действуют поверхностные источники тепла от трения на поверхности очага деформации в форкамере  $q_{TPKФД}$ , объемные источники тепла в очаге деформации в форкамере  $q_{VKФД}$ ;
- зона прессуемого металла, находящегося в рабочем канале матрицы, где действуют поверхностные источники тепла от трения на поверхности профиля и матрицы  $q_{TPM}$ .

Выходную температуру пресс-изделия можно определить по формуле

$$T_{PP}(t) = T_{10} + \Delta T_{1K}(t_{1K}) + \Delta T_{1KD}(t_{1KD}) + \Delta T_{1\phi}(t_{1\phi}) + \Delta T_{1\phi\phi}(t_{1\phi\phi}) + \Delta T_{1M}(t_{1M}), \quad (2)$$

где  $t_1 = t_{1K} + t_{1KD} + t_{1\phi} + t_{1\phi\phi} + t_{1M}$  – время прессования элементарного блока металла;

$\Delta T_{1K}, \Delta T_{1KD}, \Delta T_{1\phi}, \Delta T_{1\phi\phi}, \Delta T_{1M}$  – изменение температуры элементарного блока металла во время прохождения вышеперечисленных характерных зон.

Рассмотрим элементарный цилиндрический блок размером  $dx$ , находящийся в контейнере на расстоянии  $x$  перед очагом деформации в контейнере (см. рис. 1). Время перемещения данного блока до очага деформации составит

$$t_{1K} = \frac{x}{v_{PP}}, \quad (3)$$

где  $v_{PP}$  – скорость прессования.

Принимая во внимание, что во время подхода данного блока металла до очага деформации на его теплосодержание оказывают влияние теплообмен с контейнером в вертикальном направлении и в горизонтальном направлении – вдоль оси прессования от очага деформации, изменение температуры данного блока перед очагом деформации будет равно

$$\Delta T_{1K} = \Delta T_{1K}^{sep} + \Delta T_{1K}^{zop}, \quad (4)$$

где  $\Delta T_{1K}^{sep}$ ,  $\Delta T_{1K}^{zop}$  – изменение температуры прессуемого металла на подходе к очагу деформации от теплообмена в вертикальном и горизонтальных направлениях соответственно.

Составляющие  $\Delta T_{1K}^{sep}$ ,  $\Delta T_{1K}^{zop}$  определяем на основе теплового баланса элементарного блока, а затем находим изменение средней температуры прессуемого металла от теплообмена в верти-

кальном направлении во время его движения к очагу деформации в контейнере

$$\Delta T_{1K}^{sep} = \frac{4t_{1K}}{c_1\gamma_1(k_1+1)D_K} \left( q_{TPK} k_1 - \frac{2\Delta T \cdot b_1}{\sqrt{\pi \cdot t_{1K}}} \right), \quad (5)$$

где  $q_{TPK} = \mu_K \sigma_{SK} v_{PP}$ ;  $\mu_K$  – коэффициент трения на поверхности заготовки в контейнере;  $\sigma_{SK}$  – среднее сопротивление деформации на границе контакта заготовки и контейнера.

Изменение средней температуры прессуемого металла в горизонтальном направлении определяем по формуле

$$\Delta T_{1K}^{zop} = \frac{2q_{VKD}\sqrt{a_1 t_{1K}}}{3c_1\gamma_1\sqrt{\pi(v_{PP} + 3,2\sqrt{a_1/t_{1K}})}}. \quad (6)$$

Очаг деформации в контейнере можно рассмотреть как один из блоков [4]. Тогда уравнение теплового баланса для данного блока запишется в виде

$$c_1\gamma_1\Delta T_{1KD} \cdot V_{KD} = F_{KD} \int_0^{t_D} q_{TPKD}(t) dt + V_{KD} \int_0^{t_D} q_{VKD}(t) dt - K_{TV} F_K \int_0^{t_D} q_{GP}(t) dt, \quad (7)$$

где  $V_{KD}$  и  $F_{KD}$  – объем и боковая поверхность очага деформации в контейнере;  $F_K = \frac{\pi D_K^2}{4}$  – площадь поперечного сечения контейнера,  $K_{TV} = 1 - v_{PP}/v_T$  – коэффициент потерь тепла;  $q_{TPKD}$  и  $q_{VKD}$  – плотности источников тепла на поверхности и в объеме очага деформации.

Последние можно рассчитать по формулам:

$$q_{TPKD} = \mu_{KD} \sigma_{SKD} v_{CPKD}, \quad (8)$$

где  $\mu_{KD}$  – коэффициент трения на поверхности очага деформации в контейнере;  $\sigma_{SKD}$  – среднее сопротивление деформации в очаге деформации в контейнере;  $v_{CPKD}$  – средняя скорость движения прессуемого металла по поверхности очага деформации в контейнере;

$$q_{VKD} = \frac{p_K}{t_{KD}}, \quad (9)$$

где  $p_K = \frac{\beta \sigma_{SKD} \cdot \ln \lambda_K}{\cos^2(\alpha_K/2)}$  – давление прессования в

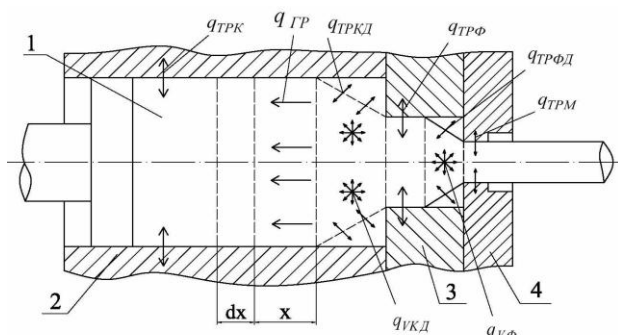


Рис. 1. Тепловое воздействие при прессовании с форкамерной матрицей:  
1 – заготовка; 2 – контейнер;  
3 – форкамера; 4 – матрица

очаге деформации;  $\beta = 1,1$ ;  $\lambda_K = F_K / F_\phi$  – вытяжка из контейнера в форкамеру;  $\alpha_K$  – угол наклона образующей очага деформации в контейнере;  $F_K$  и  $F_\phi$  – площади поперечного сечения контейнера и форкамеры; время деформации:  $t_{KD} = \frac{V_{KD}}{F_K \cdot v_{PP}}$ .

Из (7) находим изменение средней температуры прессуемого металла во время его движения в очаге деформации  $t_{KD}$  в контейнере:

$$\Delta T_{1KD} = \frac{F_{KD} \cdot t_{KD}}{c_1 \gamma_1 (k_1 + 1) \cdot V_{KD}} \times \left( q_{TPKD} \cdot k_1 - \frac{4q_{VKD}}{3} \sqrt{\frac{a_1 \cdot t_{KD}}{\pi}} - \frac{2\Delta T_{KD} \cdot b_1}{\sqrt{\pi \cdot t_{KD}}} \right) + \frac{q_{VKD} \cdot t_{KD}}{c_1 \gamma_1} \left( 1 - \frac{2K_{TV} F_K}{3V_{KD}} \sqrt{\frac{a_1 t_{KD}}{\pi}} \right). \quad (10)$$

Методика расчета объема  $V_{KD}$  и боковой поверхности очага деформации  $F_{KD}$  при прессовании подробно изложена в работах И.Л. Перлина и М.З. Ерманка [3, 5].

При определении  $\Delta T_{KD} = T_{\bar{K}}(t_1) - T_{KD}$  – разности температур деформируемого металла на входе в очаг деформации и контейнера находим изменение температуры контейнера в очаге деформации [4]:

$$T_{KD} = \frac{t_1 - t_{KD}}{c_2 \gamma_2 (k_1 + 1) D_K (r^2 + r)} \times \left\{ \frac{4q_{VKD}}{3} \sqrt{\frac{a_1 (t_1 - t_{KD})}{\pi}} \times \left[ 1 - 3\sqrt{\pi}(1+2r) \cdot i^3 erfc \left( \frac{R}{2\sqrt{a_2(t_1 - t_{KD})}} \right) \right] + q_{TPKD} \left[ 1 - 4(1+2r) \cdot i^2 erfc \left( \frac{R}{2\sqrt{a_2(t_1 - t_{KD})}} \right) \right] + \frac{2(T_{10} - T_{20})b_1}{\sqrt{\pi(t_1 - t_{KD})}} \left[ 1 - \sqrt{\pi}(1+2r) - \times i erfc \left( \frac{R}{2\sqrt{a_2(t_1 - t_{KD})}} \right) \right] \right\} + T_{20}, \quad (11)$$

где  $R \approx 3,2\sqrt{a_2(t_1 - t_{KD})}$  – глубина проникновения тепла в контейнер за время контакта [6]  $t_1 - t_{KD}$ ;  $r = R/D_K$ ;  $erfc(x) = \frac{2}{\pi} \int_x^\infty e^{-x^2} dx$ ;  $i^n erfc(z) = \int_z^\infty i^{n-1} erfc(z) dz$ .

Изменения температуры во время прохождения прессуемого металла к очагу деформации в форкамере, через форкамеру и рабочий канал матрицы определяются аналогично

$$\Delta T_{1\phi} = \frac{t_{1\phi} (F_{H\phi} - F_{H\phi\bar{D}})}{c_1 \gamma_1 (V_\phi - V_{\phi\bar{D}}) (k_3 + 1)} \times \left( q_{TP\phi} \cdot k_3 - \frac{2\Delta T_{\phi M} \cdot b_1}{\sqrt{\pi \cdot t_{1\phi}}} \right), \quad (12)$$

где  $F_{H\phi}$  и  $F_{H\phi\bar{D}}$  – площади наружных поверхностей;  $V_\phi$  и  $V_{\phi\bar{D}}$  – объемы форкамеры и очага деформации в форкамере соответственно;  $k_3 = b_1 / b_3$ ;  $\Delta T_{\phi M}$  – разность температур деформируемого металла в форкамере и самой форкамеры;

$$q_{TP\phi} = \mu_{\phi K} \lambda_K v_{PP} \sigma_{S\phi}, \quad (13)$$

где  $\mu_{\phi K}$  – коэффициент трения;  $\sigma_{S\phi}$  – среднее сопротивление деформации деформируемого металла в форкамере.

$$\Delta T_{1\phi\bar{D}} = \frac{F_{H\phi\bar{D}} \cdot t_{\phi\bar{D}}}{c_1 \gamma_1 (k_3 + 1) \cdot V_{\phi\bar{D}}} \times \left( q_{TP\phi\bar{D}} \cdot k_3 - \frac{4q_{V\phi}}{3} \sqrt{\frac{a_1 \cdot t_{\phi\bar{D}}}{\pi}} - \frac{2\Delta T_{\phi M} \cdot b_1}{\sqrt{\pi \cdot t_{\phi\bar{D}}}} \right) + \frac{q_{V\phi} \cdot t_{\phi\bar{D}}}{c_1 \gamma_1}, \quad (14)$$

где  $q_{TP\phi\bar{D}}$  и  $q_{V\phi}$  – плотность источников тепла на поверхности и в объеме очага деформации:

$$q_{TP\phi\bar{D}} = \mu_{\phi\bar{D}} \sigma_{S\phi} v_{CP\phi\bar{D}} \lambda_K, \quad (15)$$

где  $\mu_{\phi\bar{D}}$  – коэффициент трения на поверхности очага деформации в контейнере;  $v_{CP\phi\bar{D}}$  – средняя скорость движения прессуемого металла по поверхности очага деформации в форкамере;

$$q_{V\phi} = \frac{p_\phi}{t_{\phi\bar{D}}}, \quad (16)$$

где  $p_\phi = \frac{\beta \sigma_{S\phi} \cdot \ln \lambda_\phi}{\cos^2(\alpha_\phi / 2)}$  – давление прессования в

очаге деформации;  $\beta = 1,1$ ;  $\lambda_\phi = F_\phi / F_{PP}$  – вытяжка из контейнера в профиль;  $\alpha_\phi$  – угол наклона образующей очага деформации в форкамере;  $F_{PP}$  – площадь поперечного сечения профиля;  $t_{\phi\Delta} = \frac{V_{\phi\Delta}}{F_\phi \cdot v_{PP} \cdot \lambda_K}$ .

$$\Delta T_{1M} = \frac{t_{1M} \Pi_{PP}}{c_1 \gamma_1 F_{PP} (k_4 + 1)} \times \left( q_{TPM} \cdot k_4 - \frac{2 \Delta T_{MPP} \cdot b_1}{\sqrt{\pi \cdot t_{1M}}} \right), \quad (17)$$

где  $\Pi_{PP}$  – периметр профиля;  $k_4 = b_1 / b_4$ ;  $\Delta T_{MPP}$  – разность температур профиля и матрицы;

$$q_{TPM} = \mu_M \lambda_\Sigma v_{PP} \sigma_{S\phi}, \quad (18)$$

где  $\mu_M$  – коэффициент трения на поверхности калибрующего пояска матрицы.

Подставляя найденные значения изменения температуры элементарного блока во время прохождения характерных зон при прессовании в (2), можно определить выходную температуру пресс-изделия:

$$T_{PP}(t) = T_{10} + \frac{1}{c_1 \gamma_1} \left[ \frac{4t_{1K}}{(k_1 + 1)D_K} \times \left( q_{TPK} k_1 - \frac{2 \Delta T \cdot b_1}{\sqrt{\pi \cdot t_{1K}}} \right) + \frac{2q_{VKD} \sqrt{a_1 t_{1K}}}{3\sqrt{\pi} (v_{PP} + 3,2\sqrt{a_1/t_{1K}})} + \frac{F_{KD} \cdot t_{KD}}{(k_1 + 1) \cdot V_{KD}} \times \left( q_{TPKD} \cdot k_1 - \frac{4q_{VKD}}{3} \sqrt{\frac{a_1 \cdot t_{KD}}{\pi}} - \frac{2 \Delta T_D \cdot b_1}{\sqrt{\pi \cdot t_{KD}}} \right) + \right]$$

$$+ q_{VKD} \cdot t_{KD} \left( 1 - \frac{2K_{TV} F_K}{3V_{KD}} \sqrt{\frac{a_1 t_{KD}}{\pi}} \right) + \frac{t_{1\phi} (F_{H\phi} - F_{H\phi\Delta})}{(V_\phi - V_{\phi\Delta})(k_3 + 1)} \left( q_{TP\phi} \cdot k_3 - \frac{2 \Delta T_{\phi M} \cdot b_1}{\sqrt{\pi \cdot t_{1\phi}}} \right) + \frac{F_{H\phi\Delta} \cdot t_{\phi\Delta}}{(k_3 + 1) \cdot V_{\phi\Delta}} \left( q_{TP\phi\Delta} \cdot k_3 - \frac{4q_{V\phi}}{3} \sqrt{\frac{a_1 \cdot t_{\phi\Delta}}{\pi}} - \frac{2 \Delta T_{\phi M} \cdot b_1}{\sqrt{\pi \cdot t_{\phi\Delta}}} \right) + q_{VK} \cdot t_{\phi\Delta} + \frac{t_{1M} \Pi_{PP}}{F_{PP} (k_4 + 1)} \times \left( q_{TPM} \cdot k_4 - \frac{2 \Delta T_{MPP} \cdot b_1}{\sqrt{\pi \cdot t_{1M}}} \right). \quad (19)$$

Полученное выражение можно упростить, при этом оно примет следующий вид:

$$T_{PP}(t) = T_{10} + \frac{1}{c_1 \gamma_1} \left[ \frac{4t_{1K}}{(k_1 + 1)D_K} \times \left( q_{TPK} k_1 - \frac{2 \Delta T \cdot b_1}{\sqrt{\pi \cdot t_{1K}}} \right) + \frac{9(D_K^2 - D_\phi^2)t_{KD}}{(k_1 + 1)(D_K^3 - D_\phi^3)} \times \left( q_{TPKD} \cdot k_1 - \frac{4q_{VKD}}{3} \sqrt{\frac{a_1 \cdot t_{KD}}{\pi}} - \frac{2 \Delta T_D \cdot b_1}{\sqrt{\pi \cdot t_{KD}}} \right) + q_{VKD} \cdot t_{KD} \left( 1 - \frac{2,6D_K^2 K_{TV}}{D_K^3 - D_\phi^3} \sqrt{\frac{a_1 t_{KD}}{\pi}} \right) + \frac{P_\phi t_{1\phi}}{(k_3 + 1)F_\phi} \left( q_{TP\phi} k_3 - \frac{4q_{V\phi}}{3} \sqrt{\frac{a_1 \cdot t_{1\phi}}{\pi}} \right) + q_{V\phi} \cdot t_{1\phi} + \frac{t_{1M} \Pi_{PP} k_3 \cdot q_{TPM}}{F_{PP} (k_3 + 1)} \right], \quad (20)$$

где  $D_\phi = \sqrt{\frac{4F_\phi}{\pi}}$  и  $D_{PP} = \sqrt{\frac{4F_{PP}}{\pi}}$  – приведенные диаметры форкамеры и профиля;  $P_\phi, P_{PP}$  – периметры форкамеры и профиля соответственно.

Данная методика является вполне обоснованной, так как рассматриваемая задача не имеет замкнутого решения, и температурные условия определяются только путем последовательных приближений. Следует также отметить, что точность расчетов будет в значительной мере зависеть от правильности задания уравнения реологии прессуемого металла.

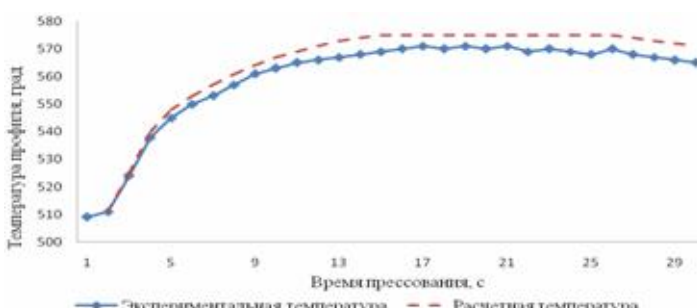


Рис. 2. Изменение выходной температуры профиля из сплава АД31

Результаты расчетов по выше приведенной методике были сопоставлены с экспериментальными данными (**рис. 2**) для случая прессования профиля из сплава АД31 в виде полосы размерами  $2 \times 100$  мм из заготовки диаметром 145 мм и длиной 500 мм (диаметр контейнера 150 мм) на прессе усилием 12,5 МН.

Замер выходной температуры профиля на выходе из канала матрицы проводили с помощью пиromетрического сканирующего устройст-

ва. Достаточная сходимость расчетных и экспериментальных данных показывает возможность применения представленной методики для инженерных расчетов температурных условий, проведения анализа влияния основных параметров процесса на изменение температурных условий при прессовании и разработки оптимальной технологии производства профилей.

#### Библиографический список

1. Бережной, В.Л. Новые технологии и оборудование будущего в производстве пресс-изделий [Текст] / В.Л. Бережной // Технология легких сплавов. 2006. № 1–2. С. 52–61.
2. Довженко, Н.Н. Система автоматизированного проектирования технологии прессования металлов. Научное методическое обеспечение: монография [Текст] / Н.Н. Довженко, С.Б. Сидельников, Г.И. Васина / ГАЦМиЗ. Красноярск, 2000. 196 с.
3. Перлин, И.Л. Теория прессования металлов [Текст] / И.Л. Перлин, Л.Х. Райтбарт. М.: Металлургия, 1975. 447 с.
4. Райтбарт, Л.Х. Прессование труднодеформируемых алюминиевых сплавов с градиентным нагревом [Текст] / Л.Х. Райтбарт, А.К. Киркин, Ю.Д. Кот // Технология прогрессивных процессов производства профилей и труб. М.: Цветметинформация, 1969. С. 36–46.
5. Ерманок, М.З. Прессование профилей из алюминиевых сплавов [Текст] / М.З. Ерманок, В.И. Фейгин, Н.А. Сухоруков. М.: Металлургия, 1977. 264 с.
6. Беляев, С.В. Температурные условия деформации заготовки в принудительно охлаждаемом контейнере [Текст] / С.В. Беляев, В.А. Кузьменко. Красноярск, 1991. 20 с. Деп. В ЦНИИцветмет экономики и информации 17.06.91, № 1987-УМ 91.